

## 差分法による河床変動計算

鳥取大学 工学部 正員 道上正規  
 鳥取大学 工学部 正員 鎌木幸一  
 大成建設(株) 正員 ○津中重彦

1.はじめに 近年の電子計算機の驚異的な発達により、水理学の問題を数値解析によつて解くということが活用に行なわれるようになつてきた。一般に、水理現象を表わす水理学的基本式は、多くの場合、偏微分方程式であるが、それに基づいて各種の境界条件のもとでの数値解析が実施され、水理学的諸現象の再現と予測が試みられるようになつたが、ここで扱う河床変動計算の場合には、計算を進める方向(上流側へか下流側へか)あるいは計算上の安定条件などが理論的に明らかにされていないため、経験的にそれらを決めている状態である。そこで、ここでは河床変動を差分法によつて数値計算する場合、考慮しなければならない諸点および問題点として計算を進める方向あるいは安定条件を論じ、それが島根県東部に位置する斐伊川の河道形状および河床高データを用いて検討した。

2.特性曲線と安定条件 de Vries<sup>1)</sup>は、一様砂の河床に加えられた擾乱の伝播速度 $C_3$ を、水面に加えられた擾乱の伝播速度が $C_3$ に比してずっと大きい、すなはち流れは擬似正常状態に保たれていって、特性曲線 $\eta = f(x, t)$ によつて求めている。すなはち、

$$\left(\frac{d\zeta}{dt}\right) = C_3 = -\alpha g \frac{\partial \eta}{\partial u} = \frac{1}{1-\lambda} \cdot \frac{1}{1-Fr^2} \cdot \frac{1}{R} \cdot \frac{\partial \eta}{\partial u} \cdot u \quad (1)$$

である。ここに、 $\alpha = \sqrt{1-\lambda}$ ,  $\beta = u/(1-Fr^2)$ ,  $Fr = u/\sqrt{gR}$ ,  $u$ は平均流速,  $\alpha$ は重力加速度,  $R$ は水深である。そして、(1)式の掃流砂量 $q_{st}$ に対して、芦田・道上の掃流砂量式<sup>2)</sup>を用いると、

$$C_3 = \frac{1}{1-\lambda} \cdot \frac{1}{1-Fr^2} \cdot \frac{1}{R} \cdot \frac{2\eta^2}{Sg d A_1^3} \left[ \left( 3u^2 - \frac{2u_{rc}}{A_2} u - \frac{u_{rc}^2}{A_2^2} \right) + \frac{6q_{st} A_2^2}{Sg d A_1} \cdot u \left( u^2 - \frac{4u_{rc}}{A_2} u + \frac{4u_{rc}^2}{A_2^2} \right) \left( 1 + \frac{2A_2^2}{Sg d} u^2 \right)^{-1} \right] \cdot u \quad (2)$$

となり、ここに、

$$A_1 = 5.75 \cdot \ln \left\{ 11.05 R / \left( 1 + \frac{2A_2^2}{Sg d} u^2 \right) \right\}$$

$$A_2 = g R \cdot n \cdot h^{-1/6}$$

である。したがつて、(2)式より、 $Fr < 1$  の場合、つまり常流であるとき $C_3 > 0$ となり、C.F.L.条件より $\Delta t, \Delta x$ および $C_3$ が図-1の実線のような関係にあるとき安定である。また、 $Fr > 1$  の場合、つまり射流であるとき $C_3 < 0$ となり、C.F.L.条件より $\Delta t, \Delta x$ および $C_3$ が図-1の破線のような関係を満足するととき安定となる。すなはち、稳定性条件は、

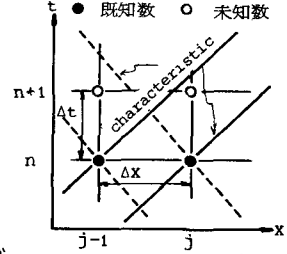
$$0 < \frac{\Delta t}{\Delta x} \leq \left| \frac{1}{C_3} \right| \quad (3)$$

である。

3.差分近似の選定 河床変動計算は、水面形計算と流砂の連続式

$$\frac{\partial \eta}{\partial t} + \frac{1}{1-\lambda} \frac{\partial \eta}{\partial x} = 0 \quad (4)$$

の2つの計算をしなければならない。水面形計算は、井田の方法によつて行なうが、(4)式の差分化において差分近似法の選定については、図-1より、常流であれば空間的差分についてには後退差分で、射流であれば前進差分を用いて近似しなければならないことがわかる。そこで、常流の場合を空間的につい



2) 前進差分と後退差分を用いて比較したものの例が図-2である。この図より、後退差分の方は発散していないが、反面、前進差分で計算した方では、明らかに発散し不安定な状態になっていることがわかる。よって、このことは、上述した理論結果をうまく説明しており、上述の理論結果は正しいといえる。しかし、限界値が  $\Delta t = 1$  といふのは、土砂水理学、とくに安定解析による河床変動論の知見から必ずしも妥当ではないので今後の問題である。

**4. 計算時間ステップ** 豊伊川の河道を対象にし、計算時間ステップ  $\Delta t$  を安定条件(3)式との関係で決定するため、流量  $Q$  を  $50, 100, 500, 1000 \text{ m}^3/\text{s}$  および  $2000 \text{ m}^3/\text{s}$  とそれぞれ一定の流量を想定して河床変動の計算を行った。2)、計算の安定、不安定と理論結果との関係を調べた。その結果、 $4000 \text{ m}^3/\text{s}$  を除く流量においては、 $2.2^\circ$  並べた安定条件を満足していた。図-3 は流量が  $1000 \text{ m}^3/\text{s}$  の場合の河床変動量を表したものであるが、この図より、計算時間ステップ  $\Delta t$  が 2 時間と 6 時間のとき、それぞれの計算値はほぼ一致している。しかし、反面、 $\Delta t = 24$  時間のときは安定条件を満足しているものの計算値が変動しているのは、1 回の計算時間ステップにあける河床変動量がおよりにも大きいためであると考えられる。よって、計算時間ステップ  $\Delta t = 2 \sim 6$  時間として計算をすればよいことがわかる。また、図-4 は流量が  $4000 \text{ m}^3/\text{s}$  の場合であるが、この場合、場所によつては 2.2 並べた安定条件を満たしておらず、かなり計算値が変動している。よって、本研究ではこの流量の場合、やはりした  $\Delta t$  を決定することが重要だ。実際、このような大きな流量が流れの場合、現象が複雑になるであろう。さらに、流量を変えた他の同様の図より、流量が  $100 \text{ m}^3/\text{s}$  以下であれば  $\Delta t = 24$  時間、 $100 \sim 500 \text{ m}^3/\text{s}$  であれば  $\Delta t = 6$  時間として計算を進めればよいことが得られる。

**5. 日流量時系列を用いた豊伊川の河床変動の計算** 実際に豊伊川の1年間(昭和59年度)の日流量時系列を用いて計算したところ、図-5 のようになつた。この間の日流量は、 $100 \sim 500 \text{ m}^3/\text{s}$  の範囲にあつたのは21日、 $500 \sim 1000 \text{ m}^3/\text{s}$  の範囲にあつたのは1日あり、 $1000 \text{ m}^3/\text{s}$  以上の流量ではなく、平均流量は  $400 \text{ m}^3/\text{s}$  程度であつた。この図より、以上述べたことをうまく説明していると考えられる。それぞれの計算値の間にわずか変動量が見らるるが、それは  $100 \text{ m}^3/\text{s}$  以上の流量の影響によるものと思われる。

**6. おわりに** 河床変動計算上での安定条件について検討したが、(3)式の条件を満たさない場合、計算結果がどのようになるかは十分検討されておらず、そのため、(3)式についてにはもう少し検討する必要がある。

(参考文献) 1) de Vries M; Proc. IAHR, 1965. 2) 黒木・岸・清水; 第17回自然災害科学統合シンポジウム, 1980.10.

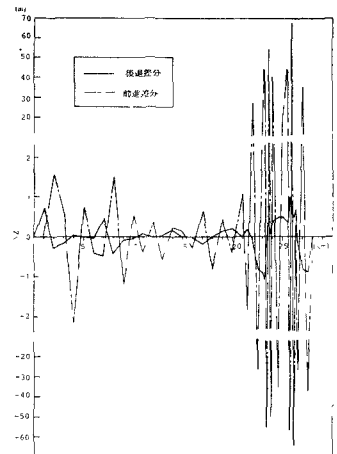


図-2 前進差分と後退差分による河床変動

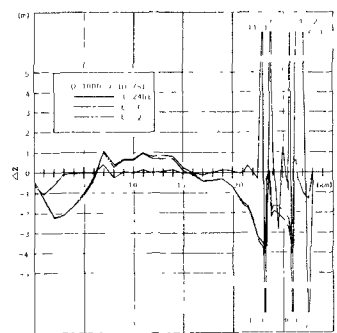


図-3  $Q=1000 \text{ m}^3/\text{s}$  における河床変動

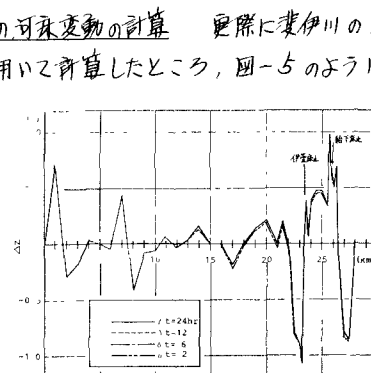


図-5 日流量時系列を用いた河床変動

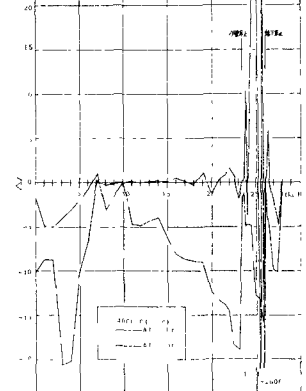


図-4  $Q=4000 \text{ m}^3/\text{s}$  における河床変動